

## بررسی توزیع تنش در لیگامان پریودنتال دندانهای قدامی فک بالا هنگام اعمال نیروی اینتروزیو در میدلاین

دکتر سید مصطفی ابطحی\* - دکتر فرزین هروی\*\*

\* - استادیار گروه آموزشی ارتودنسی دانشکده دندانپزشکی دانشگاه علوم پزشکی همدان.

\*\* - استادیار گروه آموزشی ارتودنسی دانشکده دندانپزشکی دانشگاه علوم پزشکی مشهد.

### چکیده

زمینه و هدف: روش اجزای محدود یکی از روش‌های دقیق جهت درک پاسخهای دندان به نیروهای ارتودنتیک است. در این مطالعه، بهوسیله این روش PDL دندانهای قدامی ماگزیلا (سانترال، لترال، کائین) در هنگام اعمال نیروی اینتروزیو مورد بررسی قرار گرفت.

روش بررسی: تصاویر دو بعدی دندانهای مورد نظر (سانترال، لترال، کائین) از فک بالا توسط نرم افزار Solid works تبدیل به تصاویر سه بعدی گردید. سپس PDL و استخوان آلوئول، اطراف دندانها ایجاد شد. دندانهای قدامی روی قوس ایده‌آل با Tip و Torque مناسب قرار گرفت و در سطح لبیال آنها سیم چهارگوش با اتصال Rigid به دندانها قرار داده شد. این مدل‌ها توسط نرم افزار MSC-Nastran تبدیل به مدل اجزای محدود گردید، سپس روی سیم متصل به دندانها در مزیال مجموعه دندانی نیروی اینتروزیو ۳۵ گرمی اعمال شد و نرم افزار MSC-Patran جهت تجزیه و تحلیل تنش مورد استفاده قرار گرفت.

یافته‌ها: هنگام اعمال نیرو در میدلاین حد اکثر تنش در PDL لترال به میزان  $10^{-3} \text{ N/mm}^2$  و حداقل آن در کائین به میزان  $10^{-5} \text{ N/mm}^2$  می‌باشد.

نتیجه‌گیری: هنگام اعمال نیروی اینتروزیو در مزیال مجموعه دندانی حد اکثر تنش در PDL دندان لترال ناحیه آپکس و حداقل تنش در PDL دندان کائین  $\frac{1}{3}$  آپکال دیده می‌شود.

واژه‌های کلیدی: ارتودنسی - دندانهای قدامی ماگزیلا - اینتروزیون - اجزای محدود

روش اینتروزیون آرج را می‌توان به قسمتهای مختلف قوس در ناحیه قدامی متصل کرد، که هر نوع اتصال یک الگوی خاص تنش در PDL دندانهای قدامی ایجاد می‌کند. مطالعه حاضر قصد دارد الگوی توزیع تنش در PDL دندانهای قدامی هنگام اتصال اینتروزیون آرج در ناحیه میدلاین را بررسی کند.

تحلیل تنش در دندانپزشکی به روش‌های مختلفی قابل اجراست. از جمله استفاده از:

### مقدمه

روشهای مختلفی جهت اینتروزیون دندانهای قدامی ارائه گردیده از جمله تکنیک‌های Begg (۱) تکنیک Edgewise (۲) تکنیک Bypass (۳) Rickets (۴) Burstone (۵). با مروری بر روش‌های مختلف اینتروزیون مشخص می‌شود که، اینتروزیون به روش Burston مؤثرترین روش اینتروزیون واقعی است (۵).

رخ داده بود. هدف از این مطالعه بررسی تنش ایجاد شده در PDL دندانهای قدامی ماگزیلا هنگام اعمال نیروی اینتروزیو در ناحیه میدلاین می‌باشد.

### روش بررسی

این مطالعه توصیفی به کمک تکنیک اجزای محدود سه بعدی و نرم افزار Patran و Nastran انجام شده است. جهت اجرای این مطالعه سه دندان قدامی ماگزیلا (سانترال، لترال و کانین) به صورت سه بعدی مدل‌سازی گردید. مراحل سه بعدی سازی عبارت بودند از: اسکن تصاویر دو بعدی دندانها از نماهای مختلف، تبدیل تصاویر دو بعدی دندانها به نقشه‌های دو بعدی کامپیوتری، تهیه مدل‌های سه بعدی دندانها با استفاده از نقشه‌های دو بعدی به وسیله نرم افزار Solid works، مدل‌سازی PDL استخوان اطراف دندانها به وسیله نرم افزار Proengineer. در مرحله بعد دندانها روی یک قوس ایده‌آل با Tip و Torque مناسب قرار داده شدند و جهت یکپارچه سازی آنها یک سیم استنسیل چهارگوش با ابعاد  $0.28 \times 0.28 \times 0.028$  اینچ به سطح لبیال دندانها متصل گردید. سپس کل مدل توسط نرم افزار Nastran تبدیل به مدل اجزای محدود سه بعدی گردید. کف استخوان آلوئول به عنوان تکیه گاه مدل در نظر گرفته شد. (شکل ۱)

۱. لاک الکل شکننده
۲. روش فتوالاستیک
۳. روش اجزای محدود.

روش اجزای محدود (Finite Element Method) (FEM) یک روش دقیق تحلیل تنش با استفاده از کامپیوتر می‌باشد. از تکنیک اجزای محدود در دندانپزشکی در موضوعات مختلف از جمله تنش در ساختمان دندان، بیومتریال و ترمیم، ایمپلنت و معالجه عصب استفاده شده است.<sup>(۶)</sup>

در زمینه ارتدونسی Wilson<sup>(۷)</sup> در سال ۱۹۹۴ با استفاده از تکنیک اجزای محدود سه بعدی دندان کانین را مدل‌سازی و نیروی اکستروزیو و اینتروزیو به دندان وارد کرد و PDL دندان را مورد تحلیل قرار داد. در مطالعه وی حداکثر تنش در PDL ناحیه آلوئولار کرست به مقدار  $46N/mm^2$  بود در حالی که در ناحیه آپکس این مقدار  $2N/mm^2$  محاسبه شد. وی به این نتیجه رسید، طی حرکات عمودی در دندان کانین، PDL ناحیه کرست فشار بیشتری نسبت به آپکس تحمل می‌کند. Costopoulos<sup>(۸)</sup> در سال ۱۹۹۶ در زمینه میزان تحلیل ریشه در اینتروژن دندانهای قدامی تحقیقی انجام داد و به این نتیجه رسید که در گروه اینتروژن به طور متوسط تحلیل ریشه  $4/3$  میلی‌متر بیشتر از گروه کنترل



شکل ۱: مدل سه بعدی دندانهای سانترال، لترال و کانین قرارداده شده در قوس ایده‌آل همراه با Tip و Torque ایده‌آل همراه با سیم چهارگوش در سمت باکال با اتصال Rigidite به دندانها (مدل اجزای محدود)

سپس در مزیال دندان سانترال نیروی ۳۵ گرمی برای اینتروژن سه دندان اعمال گردید. در نهایت مدل توسط نرم افزار patran مورد بررسی قرار گرفت.

خواص فیزیکی دندان، PDL و استخوان آلوئول که جهت تحلیل تنش لازم بود به کامپیوتر داده شد (۱۰-۱۱). (جدول ۱)

جدول ۱: خواص فیزیکی مواد به کار رفته در مدل اجزای محدود

Poisson's ratio	Young's modulus (Mpa)	خواص فیزیکی	نوع ماده
۰/۳	$۱/۹۶ \times ۱۰^۴$		دندان
۰/۴۹	$۶/۶۶ \times ۱۰^{-۱}$		PDL
۰/۳	$۱/۳۷ \times ۱۰^۴$		استخوان آلوئول

شکل ۳ برای PDL دندان سانترال هنگام اعمال نیرو در مزیال مجموعه دندانی می‌باشد که در این تصاویر حداکثر تنش در ۱/۳ مارژینال ریشه سمت باکال و حداقل تنش در آپکس است. در شکل ۴ مشاهده می‌شود که در PDL لترال حداکثر فشار در آپکس و حداقل آن در انحنای دیستال ۱/۳ آپیکال قرار دارد. طبق شکل ۵ در مورد PDL دندان کائین، ناحیه مارژینال ریشه سمت مزیوباکال حداکثر فشار و ۱/۳ آپیکال و دیستال ریشه حداقل فشار دیده می‌شود. خلاصه تحلیل تنش درون PDL دندانهای قدامی هنگام اینتروژن در جدول ۲ آمده است.

## یافته‌ها

وقتی که نیروی اینتروژن ۳۵ گرمی در ناحیه مزیال مجموعه دندانی سانترال، لترال و کائین وارد می‌آید. حداکثر تنش در PDL لترال و حداقل تنش در PDL کائین دیده می‌شود. همان‌گونه که در شکل ۲ مشخص است هنگام اعمال نیرو در میدلاین حداکثر فشار در PDL لترال  $۲/۵۳ \times ۱۰^{-۳} \text{ N/mm}^2$  و حداقل آن در PDL کائین  $۰/۷ \times ۱۰^{-۵} \text{ N/mm}^2$  می‌باشد. چون PDL دندان کائین مورد تنش حداقل بود، کل آن به رنگ سیاه دیده می‌شود.

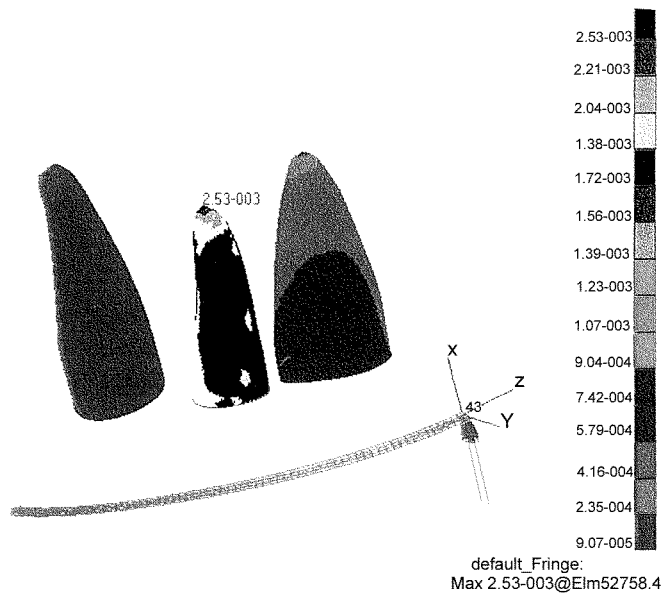
جدول ۲: نتایج تحلیل تنش در PDL دندانهای قدامی برای اعمال نیروی اینتروژیو در میدلاین

ناحیه مورد بررسی	کل مجموعه دندانی	PDL دندان کائین	PDL دندان لترال	PDL دندان سانترال	حداقل	حداکثر	حداقل	حداکثر	حداقل	حداکثر	حداقل	میزان تنش
ناحیه مشاهده شده												
	تنش	تنش	تنش	تنش	تنش	تنش	تنش	تنش	تنش	تنش	تنش	۱/۳ آپیکال
	آپکس	آپکس	آپکس	آپکس	آپکس	آپکس	آپکس	آپکس	آپکس	آپکس	آپکس	۱/۳ مارژینال
	لترا	ریشه کائین	ریشه سمت	ریشه سمت	ریشه سمت	ریشه سمت	ریشه سمت	ریشه سمت	ریشه سمت	ریشه سمت	ریشه سمت	باقال

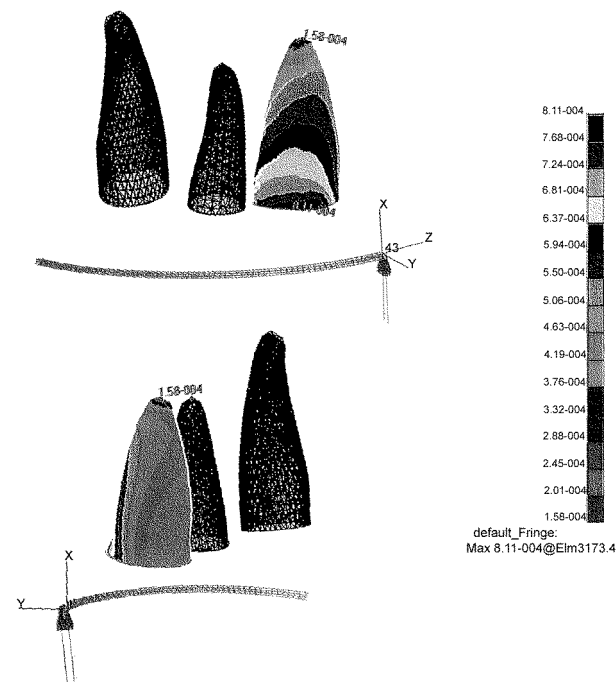
اینترود کننده مزیال دندان سانترال اعمال می‌شود، در کل مدل حداکثر تنش در آپکس لترال و حداقل تنش در ۱/۳ آپیکال سمت باکال و دیستال ریشه کائین می‌باشد. در

## بحث

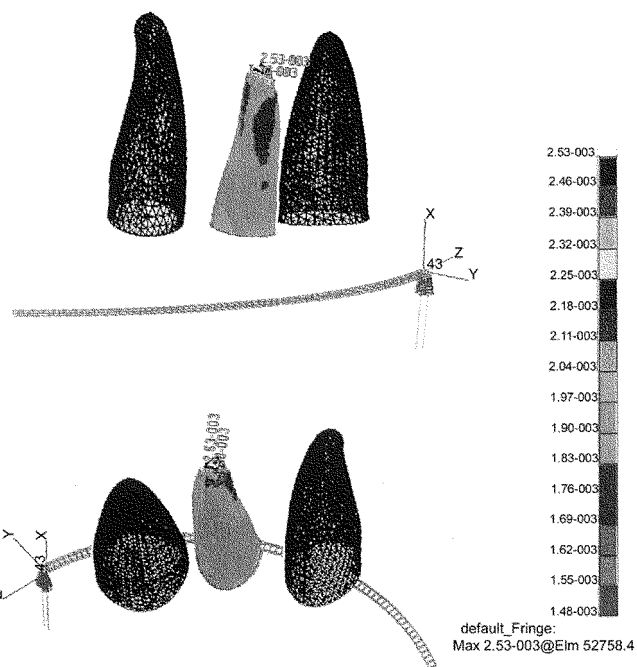
از لحاظ بررسی تنش PDL طی اینتروژن وقتی نیروی



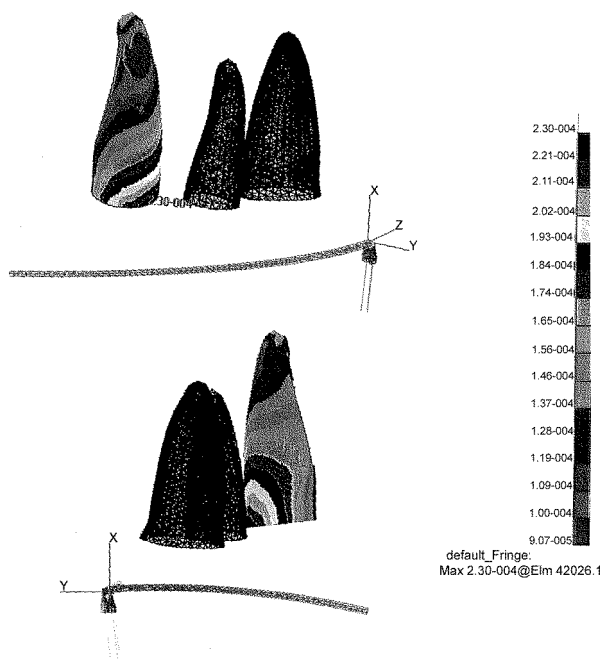
شکل ۲: تحلیل تنش در PDL دندانهای قدامی برای اعمال نیروی اینتروزیو در میدلاین، نمای باکال.



شکل ۳: تصویر تحلیل تنش در PDL دندان سانترال برای اعمال نیروی اینتروزیو در میدلاین، نمای باکال و پالاتال.



شکل ۴: تحلیل تنش در لترال دندان برای اعمال نیروی اینتروزیو در میدلайн، نمای باکال و پالاتال.



شکل ۵: تحلیل تنش در دندان کanine برای اعمال نیروی اینتروزیو در میدلайн، نمای باکال و پالاتال.

بود. البته این مطالعه از لحاظ تعداد دندان، نحوه اعمال نیرو (نحوه اعمال نیرو در این مطالعه به سیم Rigid ناحیه باکال دندانها بود، در حالی که مطالعه Wilson به صورت موازی با محور طولی دندان در نوک کاسپ دندان کائین اعمال شده بود). همچنین نحوه قرارگیری دندانها در مطالعه Wilson یک دندان کائین به صورت مستقیم درون استخوان آلوئول قرار داده شده بود در حالی که در مطالعه سه دندان قدامی سانترال و کائین با Tip و Torque ایده‌آل درون قوسی قرار داده شده بود با مطالعه Wilson متفاوت است. (Halazonetries) (۱۲)

FEM دو بعدی به این نتیجه رسید که حرکت Tipping فشار بیشتری نسبت به حرکت Bodily در PDL ایجاد می‌کند. این نتیجه بدست آمد که وقتی دندانی صرفاً اینتروژن می‌شود (مثل دندان لترال در این مطالعه)، تمرکز تنش در آپکس حداکثر خواهد بود، که این خود عاملی جهت تحلیل ریشه ضمن اینتروژن می‌تواند باشد.

### نتیجه‌گیری

هنگام اعمال نیروی اینتروژیو برای شش دندان قدامی فک بالا در ناحیه میدلاین، حداکثر تنش در PDL دندان لترال ناحیه آپکس و حداقل تنش در PDL دندان کائین ۱/۳ آپیکال ریشه دیده می‌شود. در این مطالعه ابعاد دندانی نرمال و نحوه قرارگیری ایده‌آل دندانها در قوس فکی بررسی گردید که در این حالت ضمن اینتروژن تجمع فشار در لترال بیشتر از سایر دندانها بود.

مسلماً ابعاد دندانی مختلف و قرارگیری متفاوت تمايل محوری دندانها نسبت به حالت نرمال، الگوی متفاوتی برای توزیع تنش و حداکثر تنشها و نقاط مستعد تحلیل ایجاد خواهد کرد که در تفسیر نتایج این مطالعه در حالات مختلف بالینی بایستی مدنظر باشد.

ناحیه سانترال کانتورهای تنش هر چه به سمت آپکس نزدیک شده، کمتر می‌شود و هر چه به سمت تاج نزدیک شده، بیشتر می‌شوند، به نحوی که حداقل فشار در آپکس و حداکثر فشار در مارژین ریشه سمت باکال می‌باشد. حرکت پیش بینی شده طبق این نوع الگوی تنش به سمت حرکت لبیالی تاج و Flar شدن سانترال ضمن اینتروژن می‌باشد. در دندان سانترال نیرو نسبت به مرکز مقاومت دندان به صورت باکالی اعمال می‌شود که نتیجه آن ایجاد یک گشتاور در جهت Flaring لبیالی تاج ضمن اینتروژن می‌باشد.

در ناحیه لترال یک الگوی توزیع تنش تقریباً یکنواخت در دو سمت لبیال و پالاتال دیده می‌شود، البته حداکثر تنش در آپکس می‌باشد. طبق این مدل توزیع تنش حرکت پیش بینی شده، اینتروژن خالص خواهد بود. در ناحیه کائین الگوی توزیع تنش متفاوت با سنترال می‌باشد و نشان دهنده حداکثر کانتورتنش در ۱/۳ مارژینال ریشه سمت باکال و مزیال، همراه با حداقل تنش در ۱/۳ آپیکال است، هر چند که ناحیه آپکس کمی افزایش تنش را نشان می‌دهد. طبق این مدل کانتورتنش و حرکت پیش بینی شده به صورت Tipping تاج به سمت باکال و مزیال ضمن اینتروژن این دندان خواهد بود، به نحوی که آپکس در جهت مخالف حرکت تاج حرکت خواهد کرد. در این ناحیه نیز نیرو چون در سمت مزیال دندان اعمال می‌شود، با توجه به Tip و Torque آن و مرکز مقاومت دندان، گشتاوری در جهت تیپ مزیو باکال به دندان اعمال می‌گردد.

طبق مطالعه Wilson (۷) که به روش اجزای محدود سه بعدی الگوی تنش PDL را طی حرکات عمودی دندان کائین بررسی کرد، حداکثر تنش در ناحیه کرستال PDL دیده شد. ولی طبق مطالعه حداکثر تنش در آپکس مرکز

## REFERENCES

1. Barton K. Overbite changes in the begg and edgewise techniques. Am J Orthod 1972; 62: 48-55.
2. Eganhouse G. Treatment of severe overbite malocclusion. Am J Orthod 1976; 70: 428-434.
3. Bench R, Gugino C, Hilgers J. Biopressive therapy. J Clin Orthod 1978; 12: 192-207.
4. Burstone CR. Deep overbite correction by intrusion. Am J Orthod 1977; 72: 1-22.
5. Profit WR. Contemporary orthodontics, 3th ed. St Louis: Mosby; 2000, 546-550.
6. Rudolph D, Willes MG, Sameshima G. A finite element of apical force distribution from orthodontic tooth movement. Angle Orthod 2001; 71: 127-131.
7. Wilson N, Middelton B. The finite element analysis of stress in the periodontal ligament when subject to vertical orthodontic forces. Br J Orthod 1994; 21: 161-167.
8. Costopoulos G, Nanda R. An evaluation of root resorption incident to orthodontic intrusion. Am J Orthod Dentofac Orthop 1996; 109: 543-548.
9. Andrews LF. The Diagnostic system: Occlusal analysis. Dent Clin North Am 1976; 20: 671-690.
10. Bobak V, Christansen R, Hollister S. Stress-related molar responses to the transpalatal arch: A finite element analysis. Am J Orthod Dentofac Orthop 1997; 112: 512-518.
11. Tanne K, Yoshida S, Kawata T, Sasaki A. An evaluation of the biomechanical response of the tooth and periodontium to orthodontic forces in adolescent and adult subjects. Br J Orthod 1998; 25: 109-115.
12. Halazonetis DJ. Computer experiments using a 2-D model of tooth support. Am J Orthod Dentofac Orthop 1996; 109: 598-606.